

II-8 海岸構造物近傍における波の変形に関する研究

北大工学部 (正) 佐伯 哲

○日本テトラホールド(株) (正) 笹尾 清貴

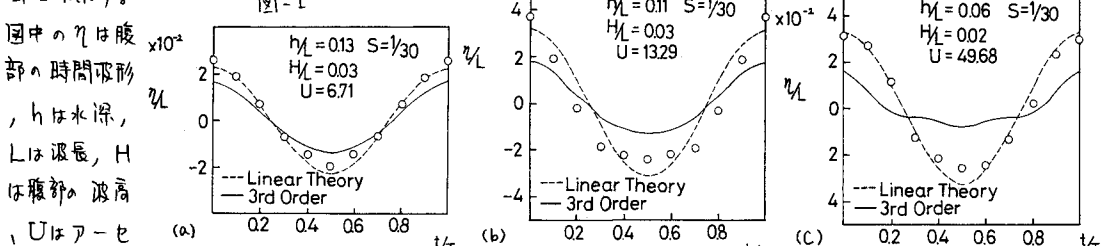
北大工学部 (学) 許士 裕恭

(1) 諸言 海岸堤防、海岸護岸、離岸堤のような海岸の汀線近傍に建設される海岸構造物、あるいは、防波堤の下に比較的大水深で冲に建設する海岸構造物近傍の波は構造物による反射、回折の影響の他に、水深変化による屈折及び浅水変形の影響を受けるために、非常に複雑な変形をする。このような構造物近傍の波の変形特性をより明確にするため、最も単純な一样斜面上の重複波の変形特性を明らかにすることとするものである。重複波についての過去の研究の多くは、主に直立構造物に作用する波压及び越波に関するもので、重複波の斜面上での変形についての系統的研究は極めて少ないのが実状である。筆者等はすでに一样水深上での重複波の理論との適合性を時間波形、空間波形、碎波限界、平均水位面から調べてきたが、本研究では、一样斜面上での重複波の一定水深を得られた各波動理論との適合性を調べるために、堤脚水深が小さい場合の進行波と重複波の中間的な波の変形についても調べた。

(2) 実験装置及び実験方法 実験は長さ24m、幅0.6m、深さ1mの両面ガラス張り鋼製水路で行なわれた。水底は $S = 1/30$ の勾配とし、耐水壁は板にビニール塗装して、できるだけ摩擦を小さくするようにした。また反射壁は厚さ2cmの鋼板に金属性アルミで補強したもので用いた。時間、空間波形の測定には、各波ごとに予備実験を行なう、重複波の腹部と節部の位置を確認し、これらの位置に抵抗式波高計を10cm間隔で設置して測定した。波形の測定時間は定常な重複波となるところから、造波板からの再反射の影響を受けない範囲で行なった。また波形の記録はストレーナーとデータレコーダーを併用した。また重複波のWave set up, Wave Set down の測定はデータレコーダーで得た記録をシーカーレコードセッサーにより処理して求めた。

(3) 実験結果

(1)-一样斜面上での重複波の波形 水底勾配 $S = 1/30$ での直立壁前面の腹部での時間波形の測定結果の一例を図-1に示す。

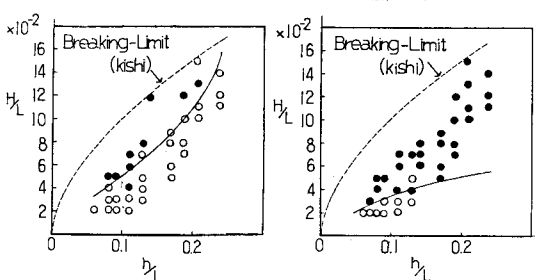


図中の η は腹部の時間波形、 H_L は水深、 L は波長、 H は腹部の波高、 U はアーチ数で、 $U = HL^2/2h^3$ で表わされる。図からも明らかなよう、アーチ数 U が小さい場合には、微小振幅重複波の理論波形に近い波形を示しているが、アーチ数が大きくなると、第3次近似の有限振幅重複波理論(Tadjibaksh & Keller)による波形を示していく。

重複波腹部の時間波形の実測波形と第3次近似の有限振幅重複波理論波形の適合度を調べた結果が図-2である。図中の○印が、許容誤差10%で理論波形に適用できたものである。よって図中の実線より下側の領域では、10%の誤差で第3次近似有限振幅重複波理論に適用できず

図-2

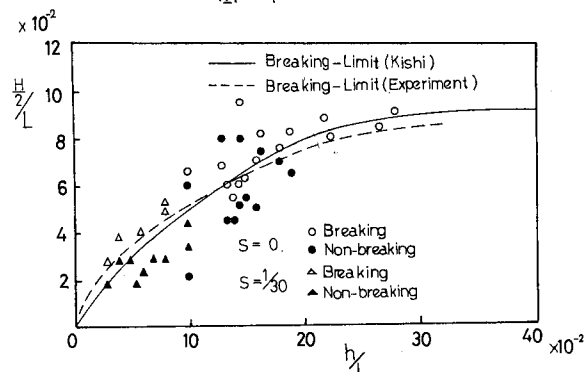
図-3



を示してある。次に実測波形と微小振幅重複波理論の適合度を前と同様 10% の許容誤差で図-3 である。図-3 の○印が微小振幅重複波理論に適用できる波形、図中の実線の下側の領域が微小振幅重複波理論の適用範囲を示している。これに対し松野等は、水深一定の重複波の波形から各重複波理論の適合度を調べたが、本実験 ($S = 1/30$) の結果と非常に一致している。この事は、水底勾配が $S = 1/30$ 程度においても、水深一定の場合の実測値の各理論への適合度と同程度に各理論に適合している事を示している。

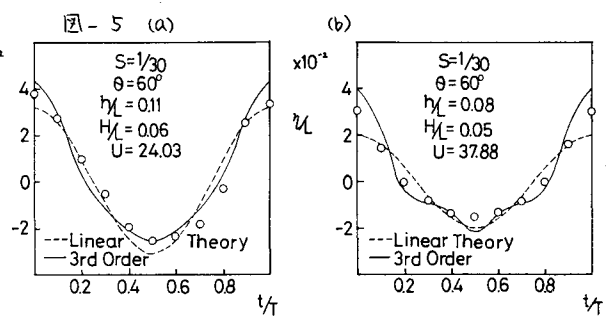
(2) 一样斜面上での重複波の碎波限界 水深一定の場合における重複波の碎波限界の実験では、Suget & Wallet の結果が有名である。こゝに付して岸の求めた $\theta = 2$ 次近似の浅水重複波理論及び Tadjibaksh & Keller の求めた $\theta = 3$ 次近似の有限振幅重複波理論は Suget 等の結果と非常に良い一致を示している。等高線は $S = 1/30$ で重複波の碎波限界を調べた。斜面上の重複波の碎波は、碎波時の波の諸元を測定する事が困難なので、Suget 等によると碎波前、碎波後に分けて測定した。結果を図-4 に示す。図中の○印及△印は、 $S = 0$ 及び $S = 1/30$ の碎波しない場合を示してある。●印及▲印は、 $S = 0$ 及び $S = 1/30$ の場合の碎波後を示している。図中の破線は我々の実験結果から求めた碎波限界で、この実験は $S = 0$ の碎波限界は岸の求めた $\theta = 2$ 次近似の浅水重複波理論の碎波限界(実線)と非常に良い一致を示している。この事は、前の波形の場合と同じく、碎波限界が3分の2とも、 $S = 1/30$ における重複波は、有限振幅重複波理論がかなりの精度で適用可能である事を示している。

図-4



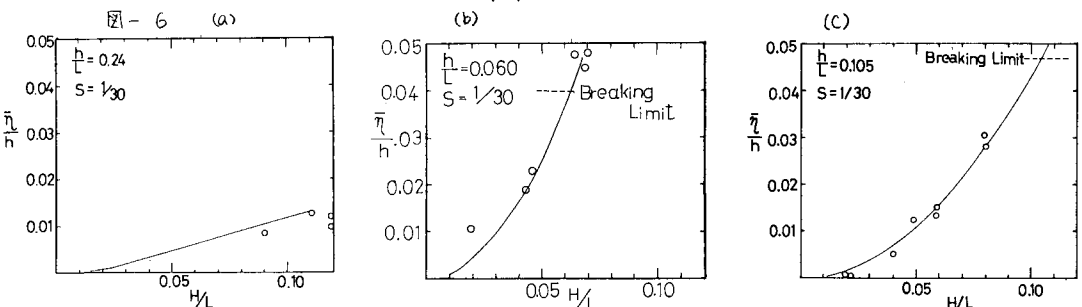
(3) 傾斜壁前面での重複波

今までには直立壁前面での重複波の各理論への適用性を調べたが、ここでは、壁面が水平面と 60° の角を有し、かつ、水底勾配が $S = 1/30$ の場合の傾斜壁前面の時間波形を調べたものの一例を図-5 に示す。アセシムが 24 程度である次の有限振幅重複波理論によく一致している事が判る。この $\theta = 60^\circ$,



$S = 1/30$ の場合も、図-2、図-3 に示した直立壁 ($\theta = 90^\circ$) の場合とほぼ同じ結果に理論と一致する。この事は、壁脚水深が大きくなり、壁前面に重複波が形成されるとより多くの場合、 $\theta = 60^\circ$ 程度の直立斜面壁でも、直立壁と同様に各重複波理論が適用可能な事を示している。

(4) 一样斜面上での重複波の Wave Set up, Wave Set down



一般に一樣に傾斜した海岸に進行波が岸に向かって進む時、波高の増大とともに、平均水位は低下し (Wave set down)，碎波点で平均水位は最低となる。碎波後は波高は急速に低下するが平均水位は逆に上昇する (Wave set up)。これに対し重複波の場合には、腹部では平均水位は上昇し、節部では逆に低下する。Longuet-Higgins によると、平均水位では重複波の場合との比を示す。

$$\bar{\eta} = \left(\frac{H}{4}\right)^2 \cdot k \cdot \coth 2kh \cdot \cos 2kx \quad \text{--- (1)} \quad (k = 2\pi/L)$$

直立壁前面の重複波の腹部の平均水位の上昇量 $\bar{\eta}/h$ の実験結果と (1) 式で示される理論値との比較をしたのが図-6 である。アーチセル数 $100 < 3$ の場合、実測値は理論値に非常に良く一致している。この平均水位の理論値は、深さよりもはるかに大きい。また、後述の如く述べるが、節部の Wave set down の量も、P-セル数 100 の程度よりは (1) 式で示される理論値とよく一致する。次に図-7 に傾斜壁の場合の実験値を示す。

$\theta = 60^\circ$ 時度では、直立壁の場合の結果と同じ程度で実験値は理論値と一致する。これは、前の波形の場合と同様に、傾斜壁の勾配が $\theta = 60^\circ$ 程度までは、前面の波は、ほぼ完全に重複波理論が適用できる事を意味している。

(5) 一様斜面上での重複波の波高変化

図-8 に、直立壁前面の重複波の波高の変化を示す。図中の破線は、実測の重複波の各部の波高の包絡線を示し、それを H_e で表わしている。また、同図の H_T は微小振幅進行波として、浅水係数を用いて計算した波高を 2 倍したものである。図 (a), (b), (c) において、図 (a) が直立壁の近く近傍における重複波の波高 (腹部の) は、 H_T に非常に近く、この事は直立壁直前の重複波の波高が、簡単な微小振幅進行波の浅水変形計算から予測できることを意味している。また図 (d) においては、堤脚水深が非常に浅い場合の例を示したが、この場合の波は、斜面の途中 ($h/L_0 = 3.3 \times 10^{-2}$) で進行波的な碎波をする波であり、碎波点 (B.P.) より沖側では、波高は H_T に非常に小さく、 $h/L_0 = 6 \times 10^{-2}$ 近傍では H_T の半分に落ちる事から、僅に進行波の存在波高変化を示し、碎波点より深い領域では、

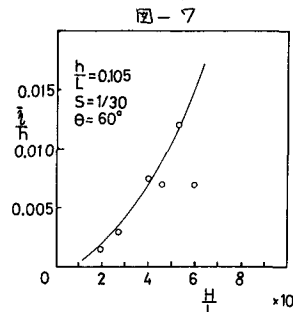
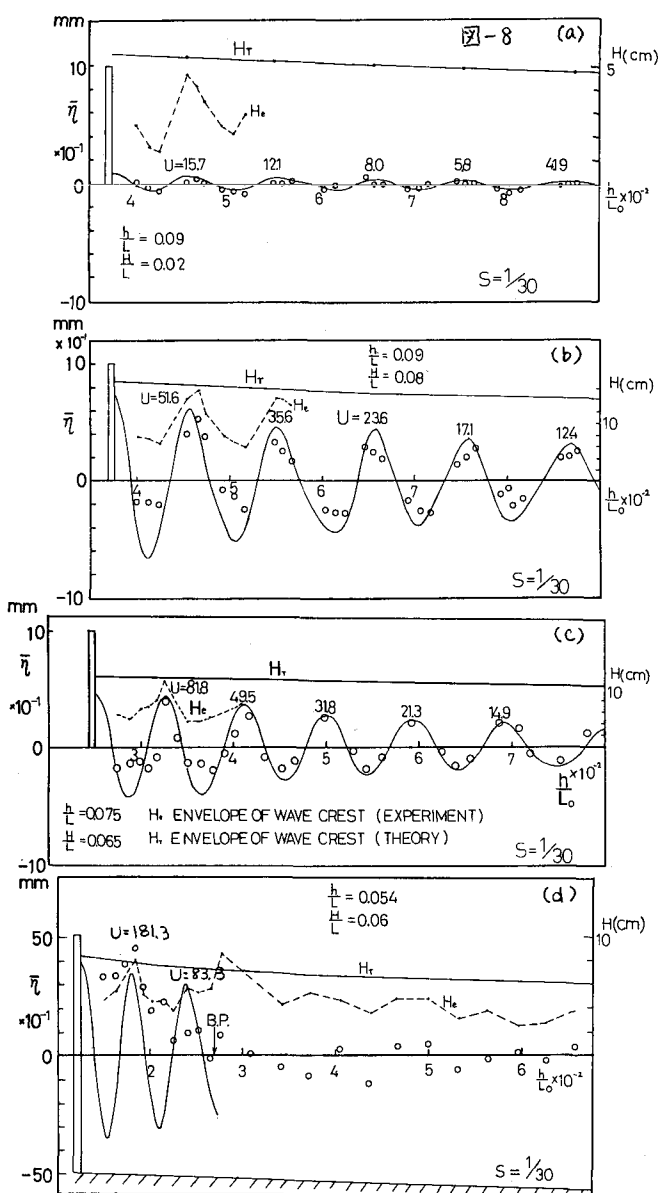


図-7



重複波的る波高変化をしていて、その波高(腹部の)も H_T に非常に近い値を示している。筆者等の結果から判断すると、冲波、諸元が与えられ、とのとくに

水底勾配で、合田の進行波の碎波指標から計算する。

算出された碎波水深 h_b が堤脚水深より大きい場合には、図(d)に示すような変形を示す事が明らかになった。しかし碎波点の位置は碎波指標から計算される h_b よりも若干沖側である事が明らかとなった。また、破波の波高も碎波指標から計算される波高より大きくなり、前にも述べたように進行波としての微小振幅波の着水変形より計算される波高の2倍にほぼ一致する。

(6) 平均水位の変化 図-8中の○印が平均水位の実測値であり、実測

の曲線が(a)式で示す理論平均水位の曲線である。図(a)は、アーセル数が4.19～15.17まで変化してあるが、重複波の腹部での set up, 節部での set down ともに理論値は実測値と一致している。図(b)では、アーセル数が35以下での範囲では、set up, set down とも実測値は理論値と一致している。しかし、アーセル数が35を越えると、腹部での set up の量は理論値と一致するが、set down の量は理論値と較べて小さくなる。図(c)も図(b)の場合と同様にアーセル数が80程度までは set up の量は理論値と一致しているが、set down のアーセル数が50以下では理論値と一致しない。図(d)は堤脚水深が小さい場合で、この場合は波高の変化の時と同じように、碎波点より沖側では、ほとんどどの場合 set down で、これはこの領域の波が進行波に近く事を示している。また碎波後は、アーセル数が80を越え、set up の最大値は理論とほぼ同じか若干大きな程度であるが、その変化の様式は重複波の場合と全く違つて、進行波の set up の変化のしかもししくかよっている。以上の結果をまとめたものが図-9である。図中の実測値は、直立壁前面の重複波の腹部の set up の実測値である。○印のA波は、wave set up, set down ともに理論値と一致する波で、アーセル数 $U \leq 50$ の波である。△印のB波は、set up の量は理論値に近いが、set down の量は理論値に較べて小さい値を示す波である。この範囲は $50 < U < 150$ である。また▲印のC波は、進行波的碎波後の波の場合で、set up が起る場合である。しかも、set up の量のものも、重複波理論で計算される値よりもやや大きめになり、進行波の set up の量を近くする値を示す。より詳細にするために、 (H^*/L) と (h/L) を示したもののが図-10である。 H^* は、線形の進行波理論として計算される波高である。また図中の破波限界は岸の求めた有限振幅進行波の碎波限界である。図中の○印はA波に相当し、△印はB波を意味し、■印がC波を意味する。つまり、進行波の碎波限界を越えてくる波は、重複波と進行波の中間の波で、碎波後に入るのは、波高の変化は重複波のようだが、平均水位の変化は進行波の性質を有している事になる。

[参考文献] 岸力: 海岸防護に関する研究一有限振幅の浅水重複波一, 建設省土木研究所報告, 第90号, 1955, Tadjbaksh & Keller: Standing surface wave of finite amplitude, Jour. Fluid Mech. Vol. 8, 1960, 松野仁根, 齋藤浩司, 佐伯浩: 重複波理論の適用限界について, 第34回土木学会年次講演会, 1979, 斎士裕恭, 山田清, 佐伯浩: 海岸構造物近傍の波浪の変形に関する研究, 第35回土木学会年次学術講演会, 1980

図-9

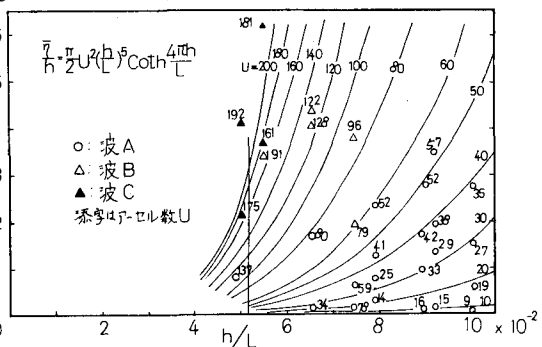


図-10

